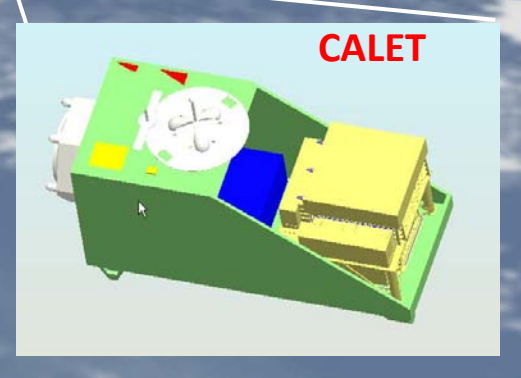


## CALET プロジェクト:

「きぼう」曝露部における高エネルギー宇宙線・ガンマ線観測













## CALET 国際研究チーム



#### JAPAN

Waseda University JAXA/Space Environment Utilization Center JAXA/ Institute of Aerospace and Astronautical Sciences Kanagawa University, Aoyama Gakuin University Shibaura Institute of Technology Institute for Cosmic Ray Research , University of Tokyo Yokohama National University Hirosaki University Tokyo Technology Inst. National Inst. of Radiological Sciences High Energy Accelerator Research Organization (KEK) Kanagawa University of Human Services Saitama University Shinshu University Nihon University Ritsumeikan University



#### USA

NASA/GSFC Louisiana State University Washington University in St Louis University of Denver



#### **ITALY**

University of Siena University of Florence & IFAC (CNR) University of Pisa University of Roma Tor Vergata



JAXA/SEUC



Waseda University supported also by JSPS, MEXT



**NASA** 



**ASI** 

## CALET Collaboration Member

- ani<sup>©</sup>, K.Asano<sup>17</sup>, M.G. Bagliesi<sup>22</sup>, sellini<sup>19</sup>, M.A. Cherry<sup>©</sup>, G. Collazuol  $^{22}$ , W.R. Binns $^{24}$ , /S, Bottai $^{19}$ , J.Buckley $^{2}$ V. Di Felice<sup>21</sup>, H. Tike<sup>5</sup>, T.G. Guzik is<sup>18</sup>, N. Hasebe<sup>23</sup>, M. Hareyama<sup>5</sup>, K. Hibino<sup>7</sup>, M. Ichimura<sup>2</sup>, K. Ioka<sup>8</sup>, J. B. Isbert<sup>9</sup> srael<sup>24</sup>, E. Kamioka<sup>15</sup>, K. Kasahara<sup>23</sup>, Y. Katayose<sup>25</sup>, J. Kataoka<sup>23</sup>, R. Kataoka<sup>17</sup>, N. Kawanaka Kim<sup>22</sup>, H. Kitamura<sup>11</sup>, Y. Komori<sup>6</sup>, T. Kotani<sup>28</sup>, H.S. Krawzczynski<sup>24</sup>, J.F. Krizmanic<sup>10</sup>, A. Kubota ranata, T.Lomtadze<sup>20</sup>, P. Maestro<sup>22</sup>, L. Marcelli<sup>21</sup>, P. S. Marrowhesi<sup>22</sup>, V. Millu K. Mizutani<sup>14</sup>, A.A. Moiseev<sup>10</sup>, K.Mori<sup>23</sup>, M. Mori<sup>13</sup>, F. Morsani<sup>21</sup>, K. Munakata H. Murakami<sup>23</sup>, Y.E.Nakagawa<sup>23</sup>, J. Nishimura<sup>5</sup>, S. Okuno<sup>7</sup>, J.F. Ormes<sup>44</sup>, S. Ozawa<sup>23</sup>, B.Rauch<sup>24</sup>, S. Ricciarini<sup>19</sup>, Y. Saito<sup>5</sup>, M. Sasaki<sup>10</sup>, M. Shibata<sup>25</sup>, Y. Shimizu<sup>4</sup>, P. Papini<sup>1</sup> . Shiomi R. Sparvoli<sup>21</sup>, P. Spillantin <sup>19</sup>, Tateyama<sup>7</sup>, N. Tateyama<sup>7</sup>, Ueno<sup>5</sup>, E. Vannuccini<sup>19</sup>, T. Terasawa<sup>3</sup>, H. Tomida S. Torii<sup>2</sup> J.P. Wefel<sup>9</sup>, K.Yamaoka<sup>1</sup>, A.
  - Aoyama Gakuin University,
  - 2) Hirosaki University, Japan
  - 3) ICRR, University of Tokyo, Japan
  - 4) JAXA/SEUC, Japan
  - 5) JAXA/ISAS, Japan
  - 6) Kanagawa University of Human Services, Japan 19) University of Florence and IFAC(CNR), Italy
  - 7) Kanagawa University, Japan
  - 8) KEK, Japan
  - 9) Louisiana State University, USA
  - 10) NASA/GSFC, USA
  - 11) National Inst. of Radiological Sciences, Japan 24) Washington University St Louis, USA
  - 12) Nihon University, Japan
  - 13) Ritsumeikan University, Japan

- Saitama University, Japan
- ) Shibaura Institute of Technology, Jar
- 16) Shinshu University, Japan
- 17 Tokyo Technology Inst., Japan
- 18) University of Denver, USA
- 20) University of Pisa, Ital
- 21) University of Rome Tor Vergata, Italy
- 22) University of Siena, Italy
- 23) Waseda University, Japan
- 25) Yokohama National University, Japan



#### CALETによる科学観測

Cosmic Ray Sources

#### カロリメータ (CALET/CAL)

• 電子: 1 GeV – 20,000 GeV

• ガンマ線: 10 GeV – 10,000 GeV (ガンマ線バースト: > 1 GeV)

陽子・原子核: 数10GeV - 1,000 TeV

超重核:

Rigidity Cut 以上のエネルギ CALET はガンマ線観測に最適化された装置ではない (ガンマ線は電子の雑音となる!)

#### ガンマ線バーストモニタ (CGBM)

軟ガンマ線: 30 keV – 30 MeV

● 硬X線 : 3keV – 3 MeV

A Detector Dedicated to Electron Observation in 1GeV-20,000GeV



**Dark Matter** 

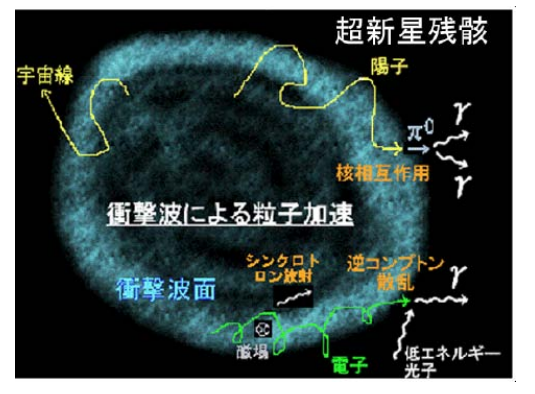
International Space Station

観測目的	観測対象
宇宙線近傍加速源の同定	TeV領域における電子エネルギースペクトル
暗黒物質の探索	電子・ガンマ線の100 GeV-10 TeV領域におけるスペクトルの"異常"
宇宙線の起源と加速機構の解明	電子及び陽子・原子核の精密なエネルギースペクトル、超重核のフラックス
宇宙線銀河内伝播過程の解明	二次核/一次核(B/C)比のエネルギー依存性
太陽磁気圏の研究	低エネルギー(<10GeV)電子フラックスの長・短期変動
ガンマ線バーストの研究	3 keV - 30 MeV領域でのX線・ガンマ線のバースト現象

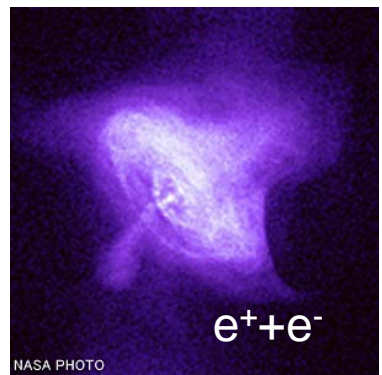
#### 高エネルギー電子(+陽電子)で期待されるサイエンス

Astrophysical Origin: Charged Particle Astronomy

Shock Wave Acceleration in SNR

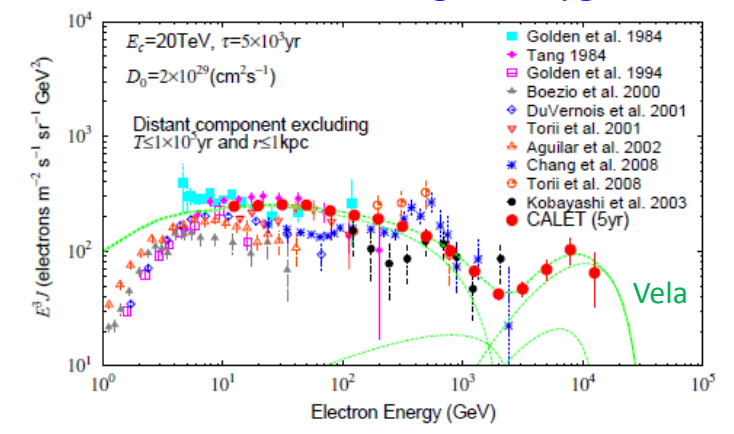


Acceleration in PWN

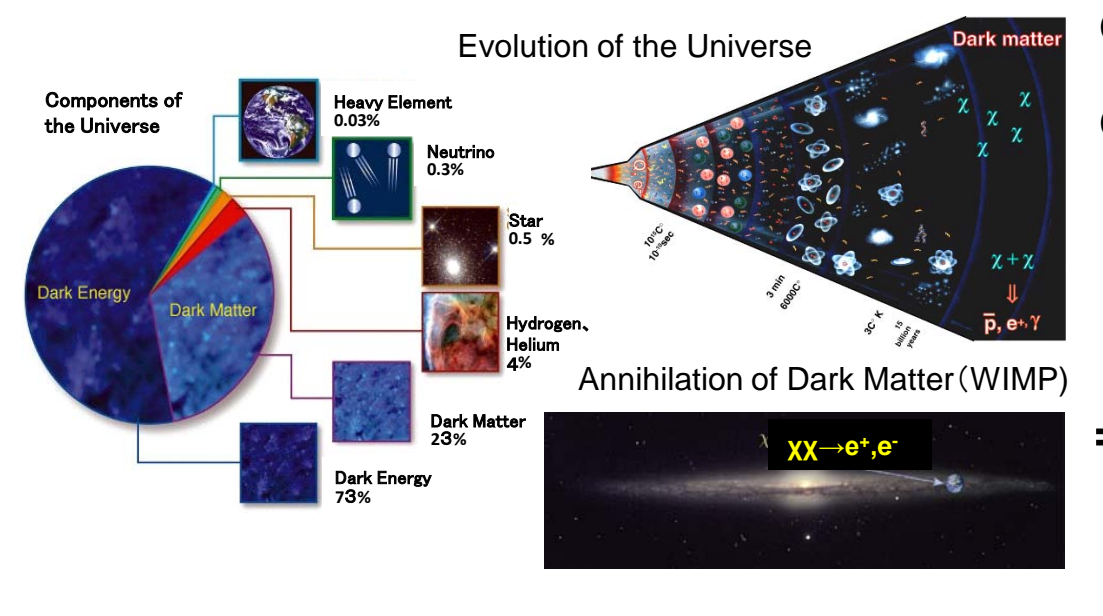


> 1 TeV Synchrotron and Inverse Compton losses

⇒ Age < ~10<sup>5</sup> years, Distance < 1 kpc (A few sources; Vela, Monogem, Cygnus Loop)

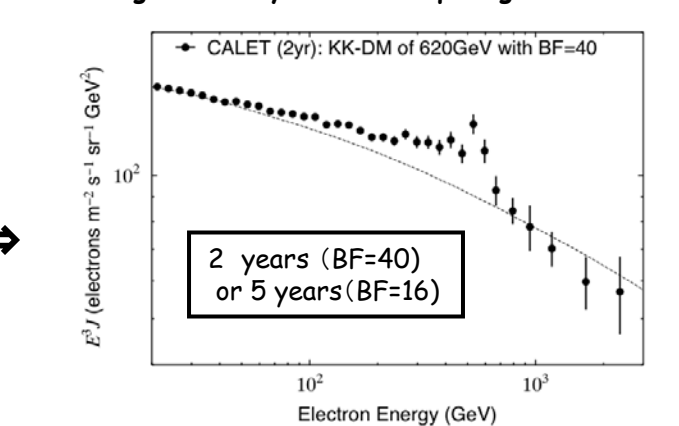


#### Dark Matter Origin: Annihilation or Decay Signatures



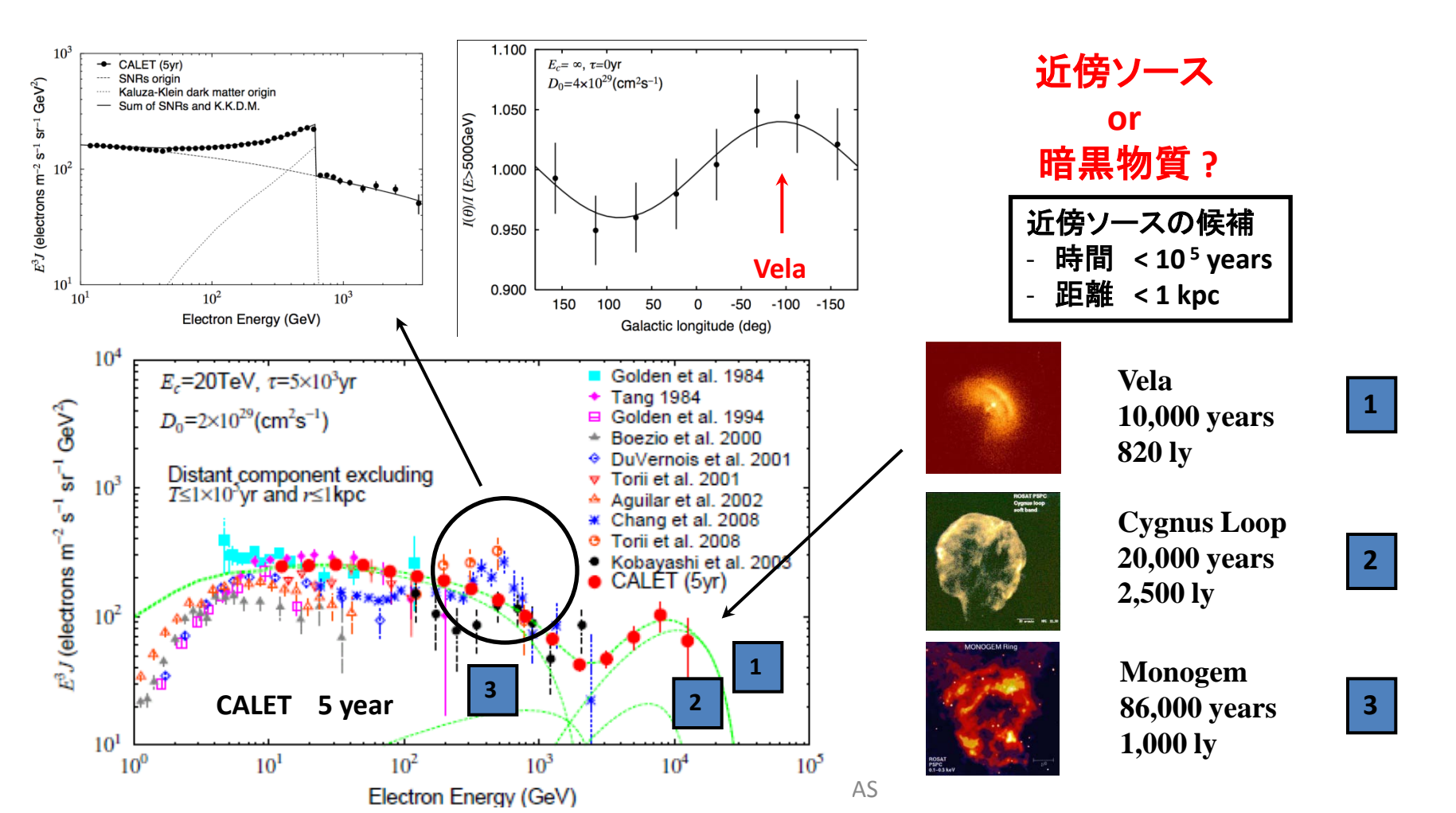
#### Measured Spectrum Tags DM Species

- (i) Kaluza-Klein Particle Annihilation: Monoenergetic direct production of e+e- pair - Sharp high energy cut-off
- (ii) Neutralino Particle Annihilation: Broad production spectrum via intermediate particles distribution over range of energy
- (iii) Single WIMP Decay: Wide production spectrum below mass via Neutrino (Ibarra et al. 2010) - Soft cut-off and high intensity without requiring local DM "clump"



## CALETによる電子(+陽電子)の観測

- ➤ TeV領域での観測を陽子雑音の十分な除去(残存率~1%)と優れたエネルギー分解能 (~2%)で実施する(世界初)
- ➤ 正確かつ高統計な1GeVからTeV領域までの電子観測を実現する
- ▶ 近傍ソースの発見に不可欠な電子到来方向の異方性の検出が可能である



#### 暗黒物質の崩壊で期待される電子/陽電子フラックス

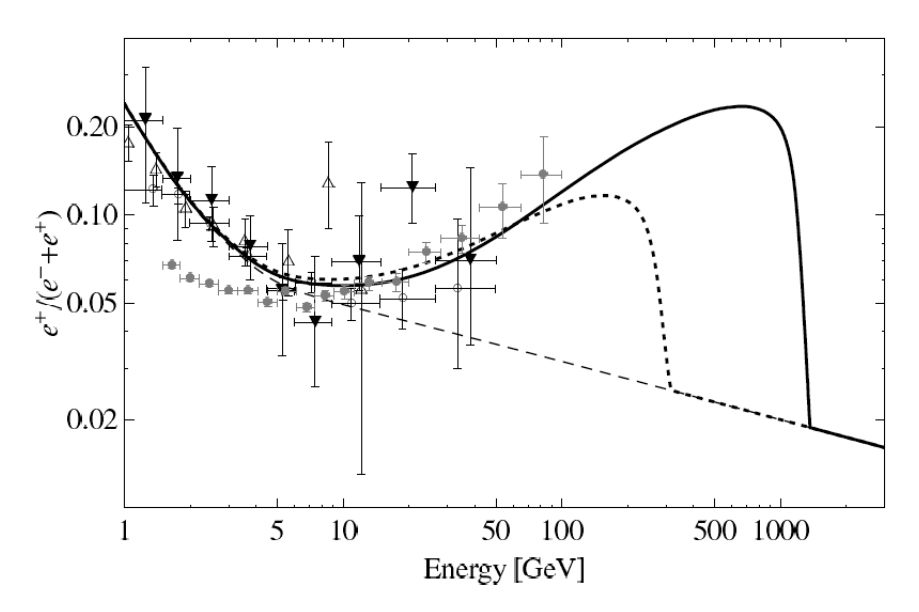
Decay Mode: D.M. -> I+I-v

Mass: M<sub>D.M.</sub>=2.5TeV

Decay Time:  $T_{D.M.} = 2.1 \times 10^{26} \text{ s}$ 

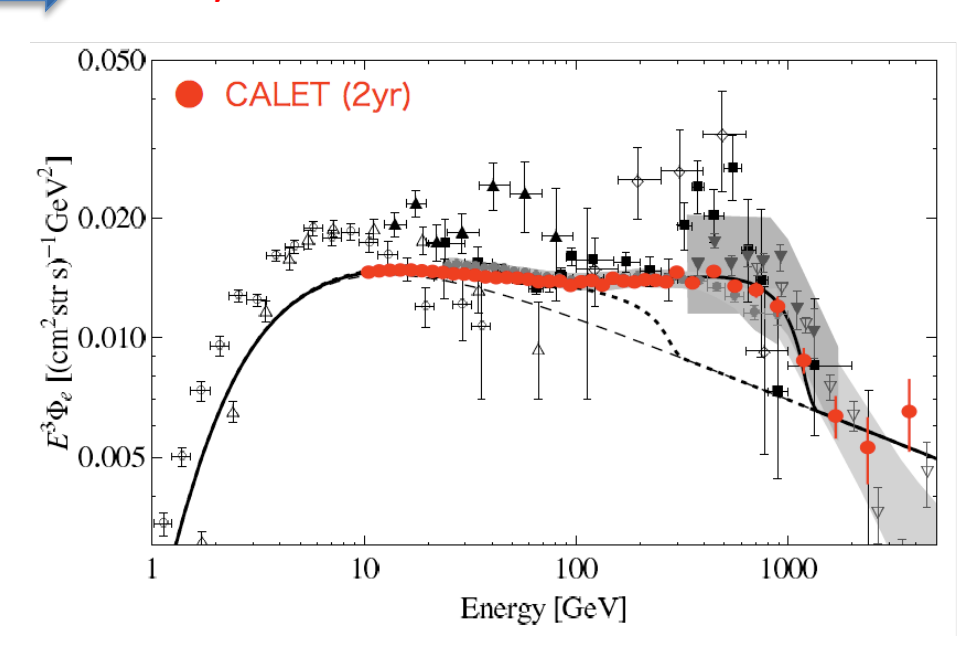


Expected e<sup>+</sup>/(e<sup>-</sup>+e<sup>+</sup>) ratio by a theory and the observed data



Ibarra et al. (2010)

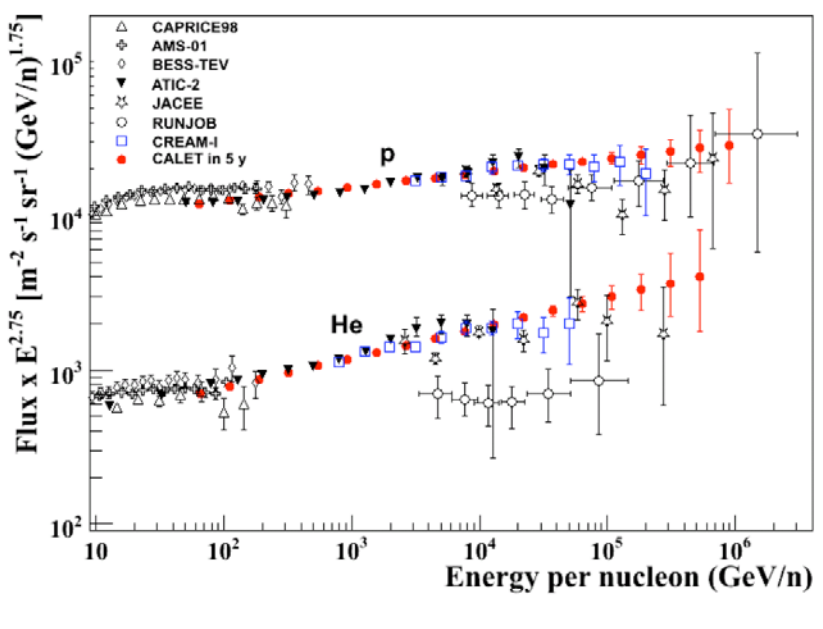
Expected e<sup>-</sup>+e<sup>+</sup> energy spectrum by CALET observation

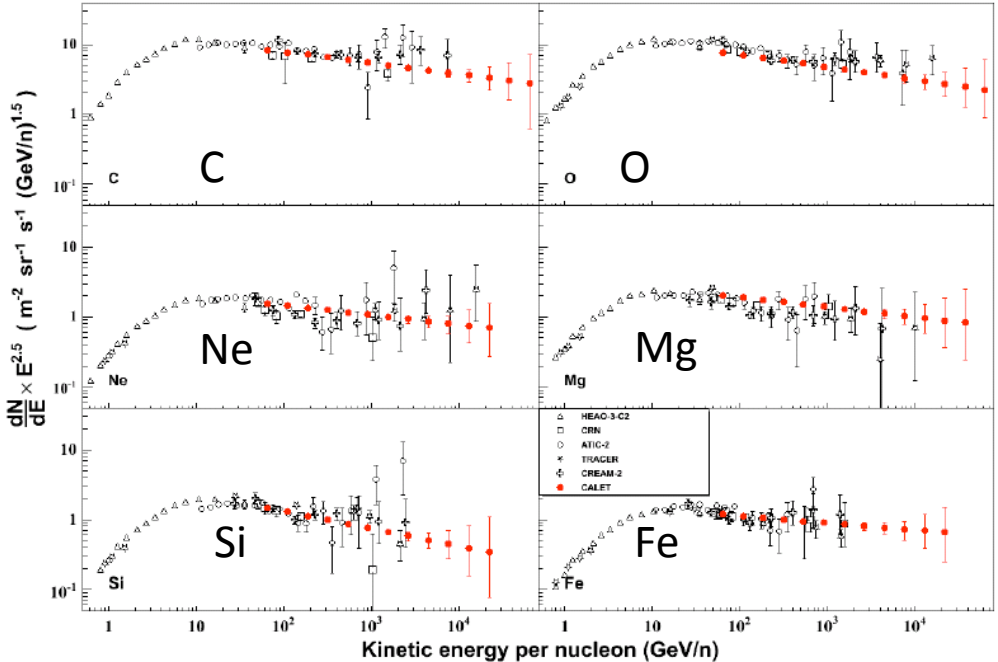


Observation in the trans-TeV region

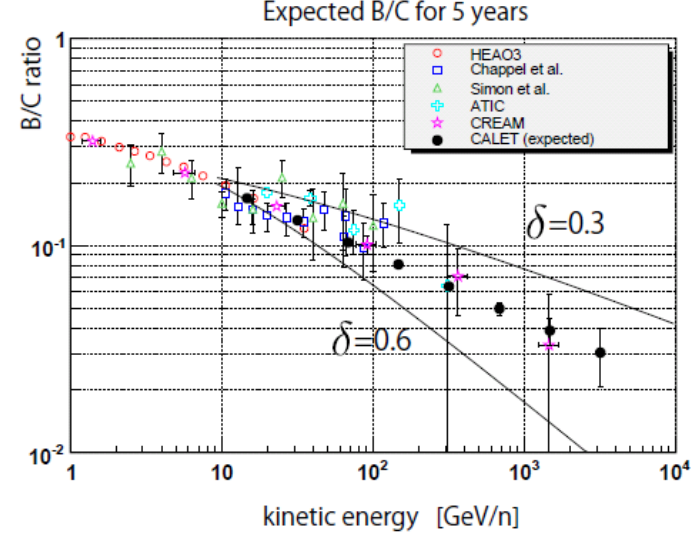


## 陽子・原子核成分の観測

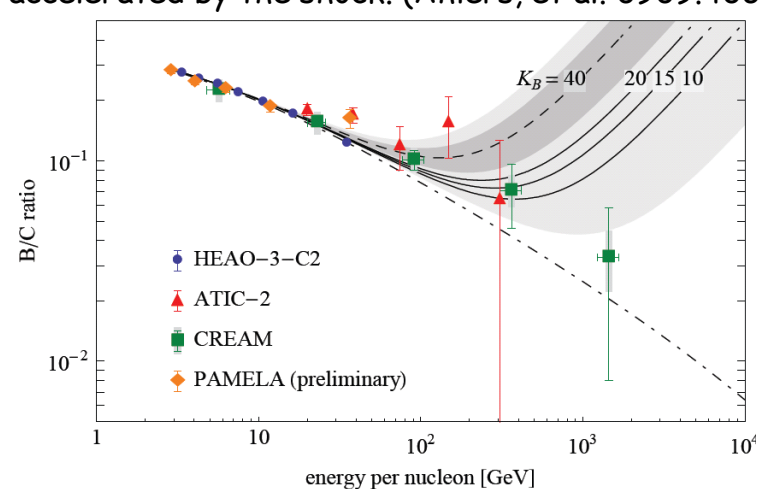




- 2ry/1ry ratio (B/C)  $\triangleright$  Energy dependence of diffusion constant:  $D \sim E^{\sigma}$
- > Observation free from the atmospheric effect up to several TeV/n
  Expected B/C for 5 years



The B/C ratio in a model where the positrons come from a nearby SNR where the secondary particles are also accelerated by the shock. (Ahlers, et al. 0909.4060)



## ガンマ線観測

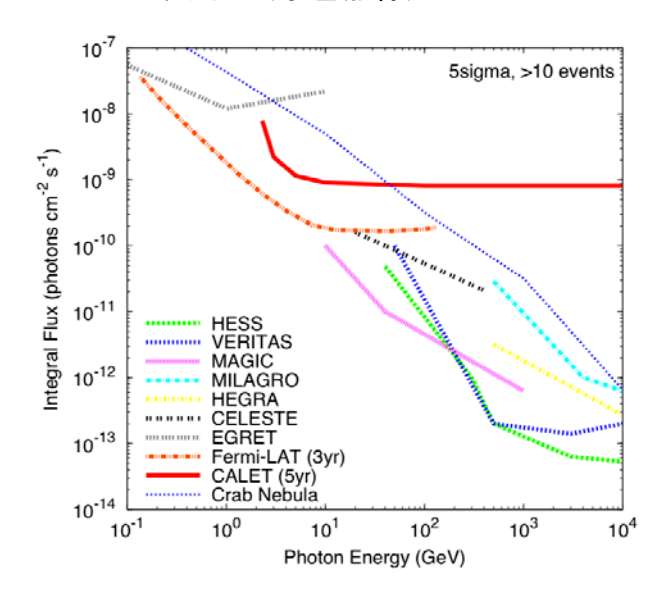
#### ポイントソース

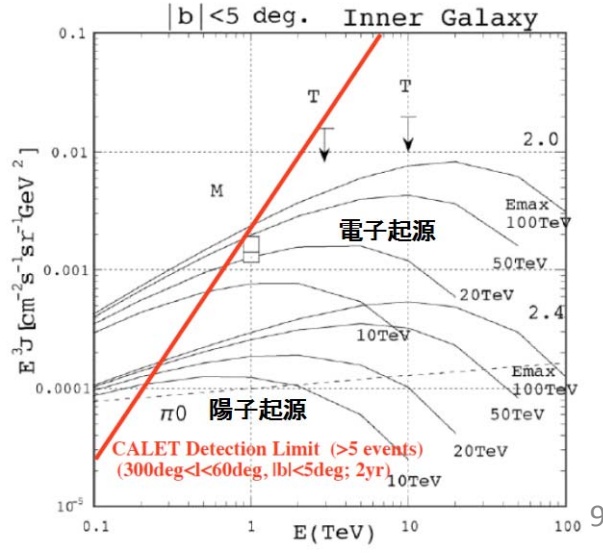
- ▶ ガンマ線観測では、アンチコインシデンスの除去により、観測エネルギー領域は10GeV以上に限られる。観測量の減少にともない、5年間の観測で100GeV領域までCrab等のポイントソースが観測可能(右上図)である。
- ▶現在観測を行っているFermi/LATとは相補的な観測が可能であり、変動の大きなAGNなどでの銀河系外ソースの共同観測や、Fermi/LATが観測を終了する予定の2015年頃以降のフォローアップ観測が可能になる。
- ▶地上のチェンレンコフ望遠鏡(CT)との同時観測により、広い波長領域での観測や、CTのキャリブレーションが実現できる。

#### 銀河内拡散成分

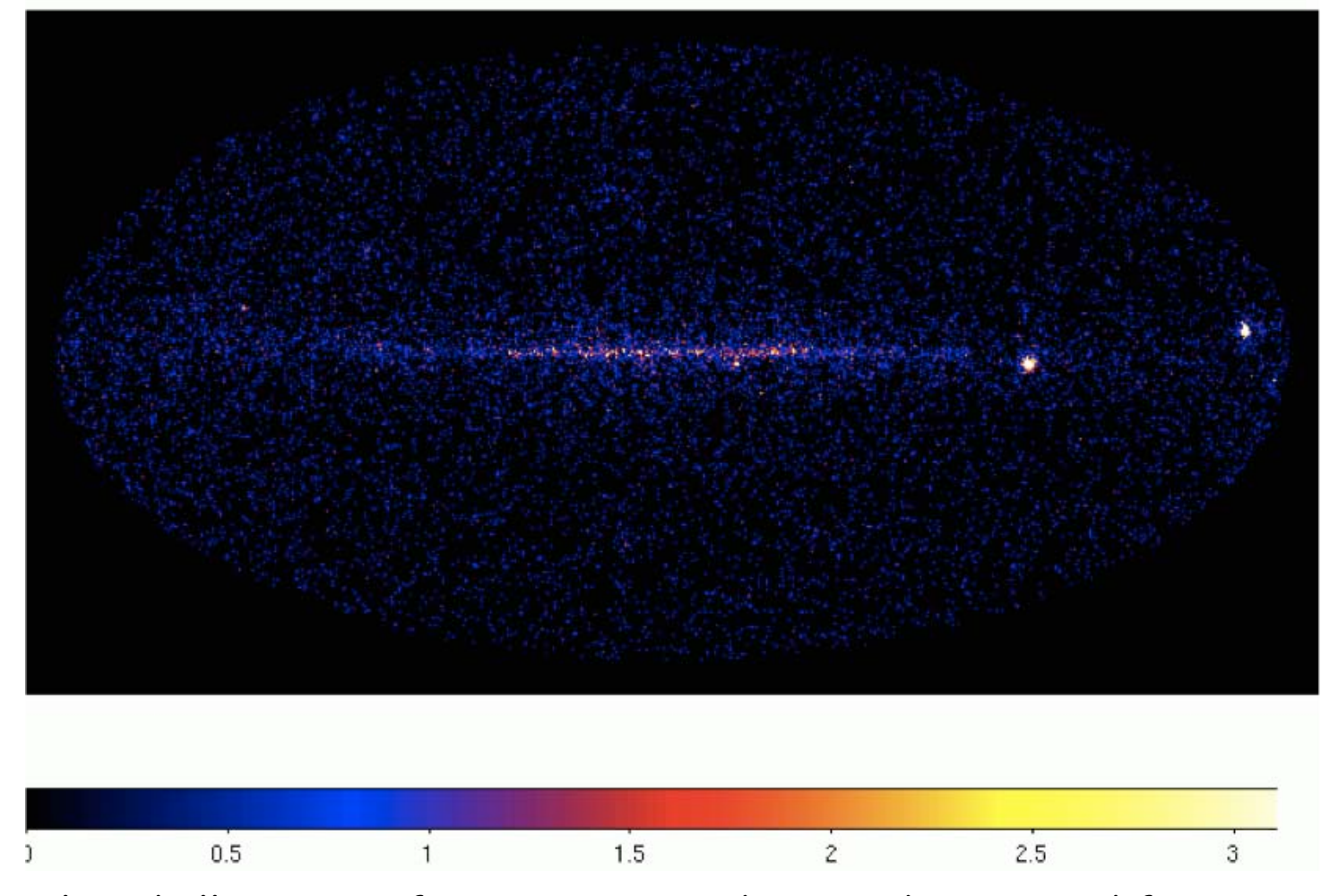
CALETのガンマ線観測では、これまで観測が限られていた拡散成分の観測を10TeV領域まで行う。100GeV領域ではガンマ線の起源について、右下図に示すように2年間の観測で理論的予測に基づいて電子かハドロンかの識別を行うことができる。

ガンマ線ポイントソースに対する感度比較と Crabのフラックス(水色点線)



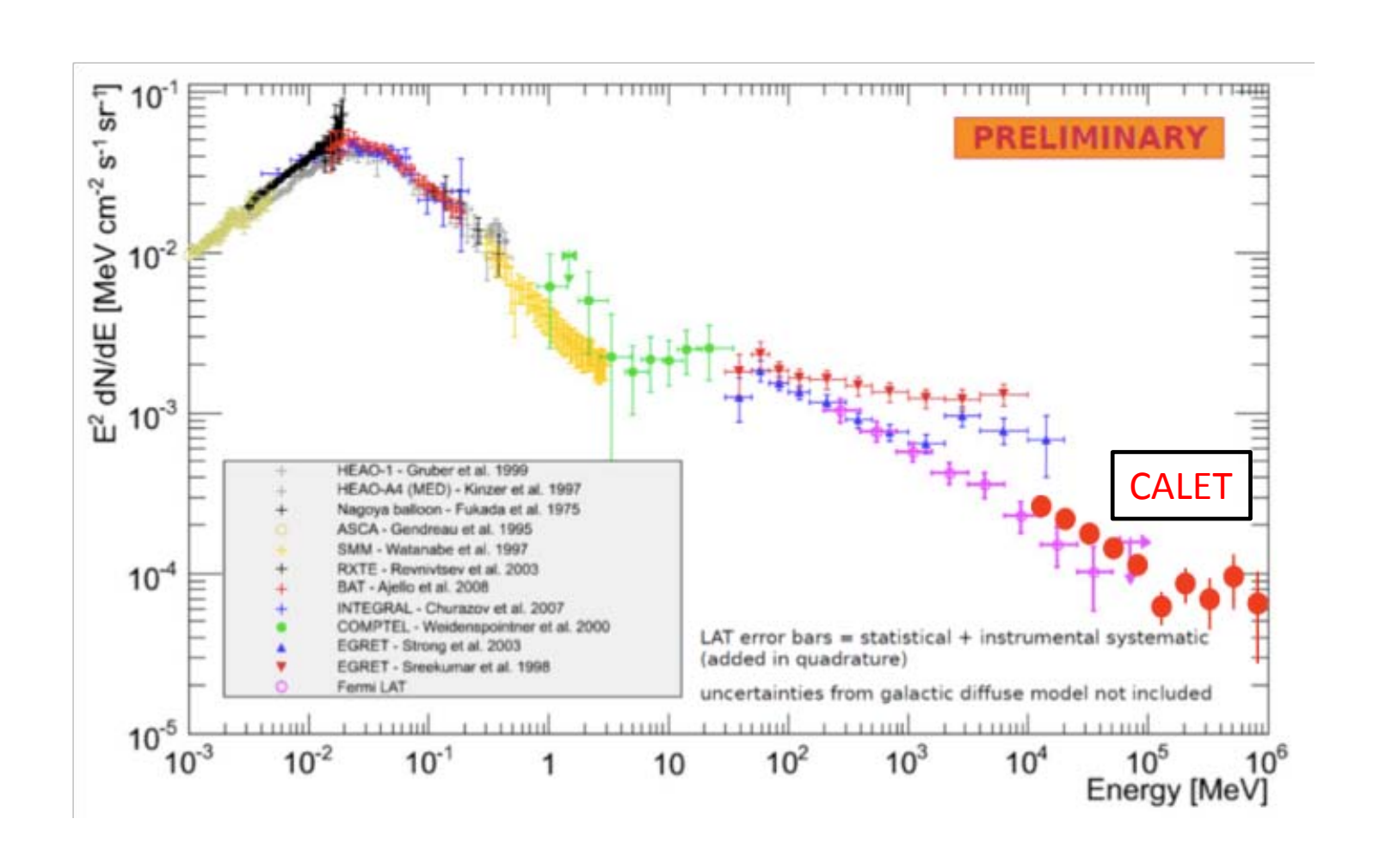


## Expected Gamma-ray Sky Map by CALET (>10 GeV)



Simulated all sky map for gamma-rays (>10 GeV) expected from the CALET observation. The 289 sources in the Fermi First Catalog are adopted.

### 銀河外拡散成分のこれまでの観測結果と CALET予測(2年間)の比較

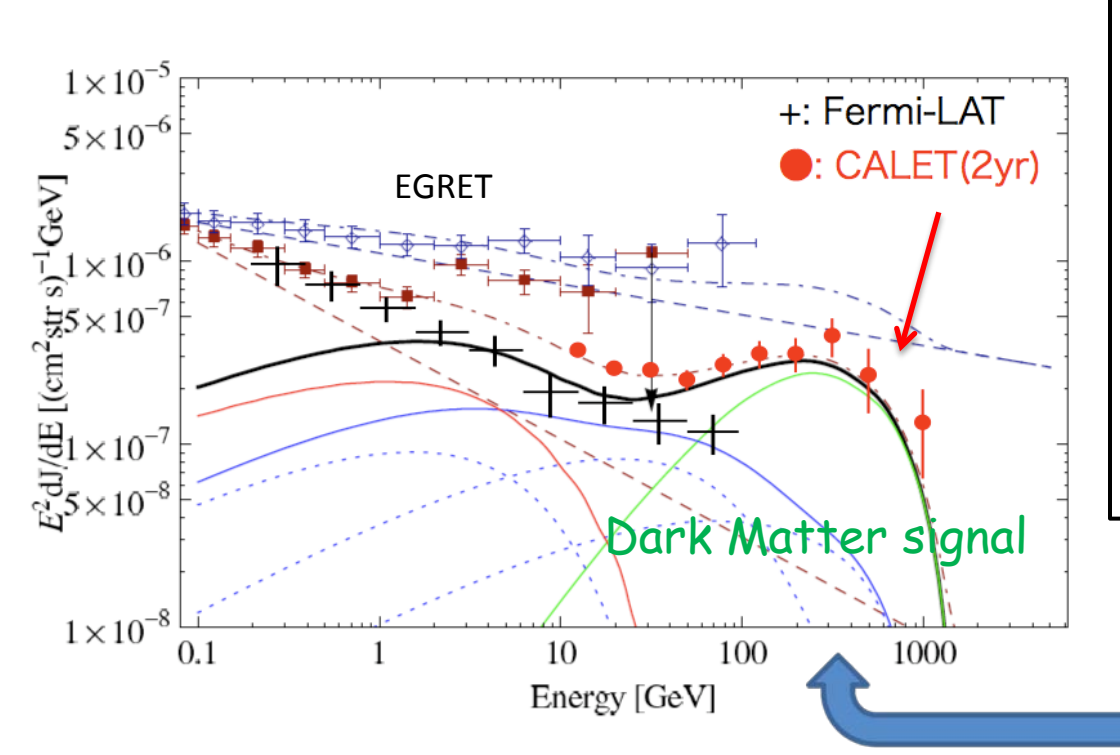


#### 暗黒物質の崩壊から期待される銀河系外拡散ガンマ線成分

Decay Mode: D.M. -> I+I-v

Mass: M<sub>DM</sub> = 2.5TeV

Decay Time:  $\tau_{D.M.} = 2.1 \times 10^{26} \text{ s}$ 



# Extra-galactic diffuse gamma-rays

Extragalactic background

+

Gamma-rays by inverse Compton scattering of the electrons and positrons from DM decay with the inter-stellar and extragalactic photons

+

Gamma-rays from DM

Observation in the sub-TeV region

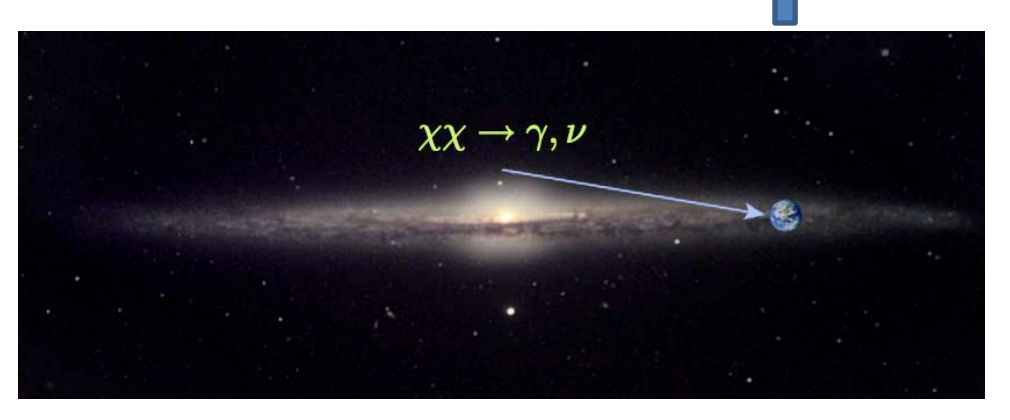
Ibarra et al. (2010)

#### 暗黒物質の対消滅で期待されるラインガンマ線

WIMP Dark Matter (Neutralino, Kaluza-Klein D.M.)

Annihilation or Decay

Gamma-ray Line



20 Neutralino annihilation (Moore halo profile, BF=5)
gamma-ray (Ε<sub>γ</sub>=820GeV)

2yr (BF=5)
or 5yr (BF=2)

5 200 300 400 500 600 700 800 900 1000
Gamma-ray Energy(GeV)

Excellent energy resolution with CALET (2%:10GeV~10TeV)



Detection for gamma-ray line due to DM annihilation or decay

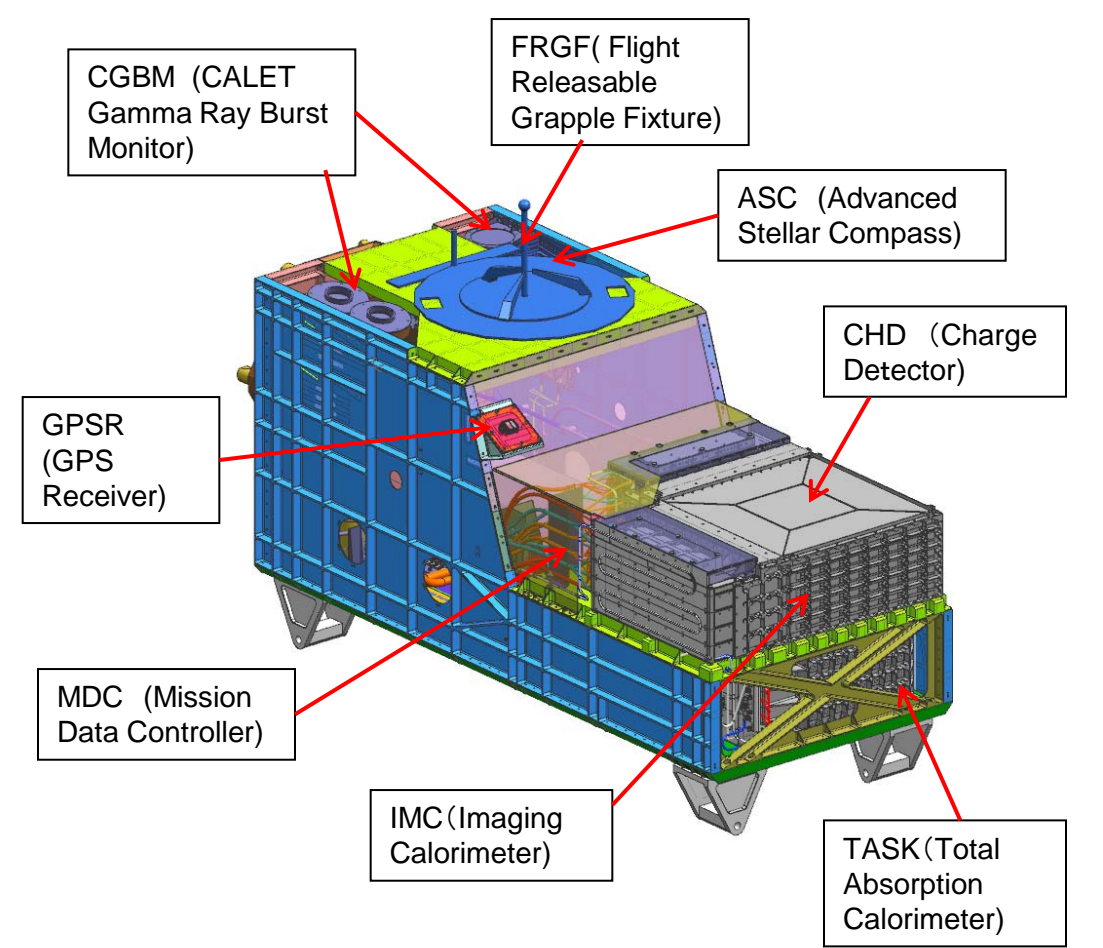
Expected gamma-ray line for DM (m=830 GeV) annihilation by CALET observation

(ref. Bergstrom et al. 2001)



## CALET ペイロード

CALET 検出器	サポートセンサ	JEM/EF 用艤装
カロリメータ(CAL): <mark>CHD,IMC, TASC</mark> +MDC ガンマ線バーストモニタ(CGBM): HXM, SGM	GPSR ASC	FRGF



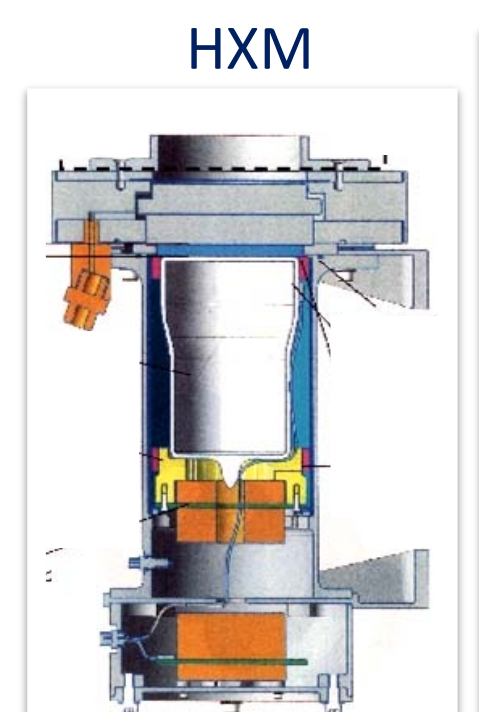
#### ミッション概要

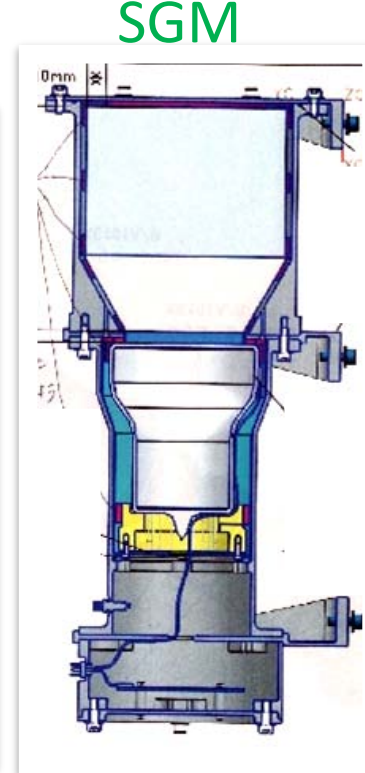
ミッション機器	CAL: Calorimeter CGBM: Gamma-ray Burst Monitor
打ち上げ機	HTV-5 (H2B)
打ち上げ時期	2014年夏期 (TBD)
観測期間	2 年間 (5 年間 目標)
ペイロード	標準ペイロード
形態	ポート占有ミッション
装置質量	650 kg (最大)
消費電力	500 W(最大)
テレメトリー	中速系 : 300 kbps 低速系 : 20 kbps

#### CGBM instrumentation - Sensors -

- ➤ 2 Hard X-ray Monitors (HXMs)
  - LaBr<sub>3</sub>(Ce) (φ66 mm x 0.5 inch)
     with a 410um thick beryllium
     window by Saint Gobain Crystals.
     This crystal is used in GRB
     observations for the first time.
  - Hamamatsu 2.2-inch
     PMT R6232-05



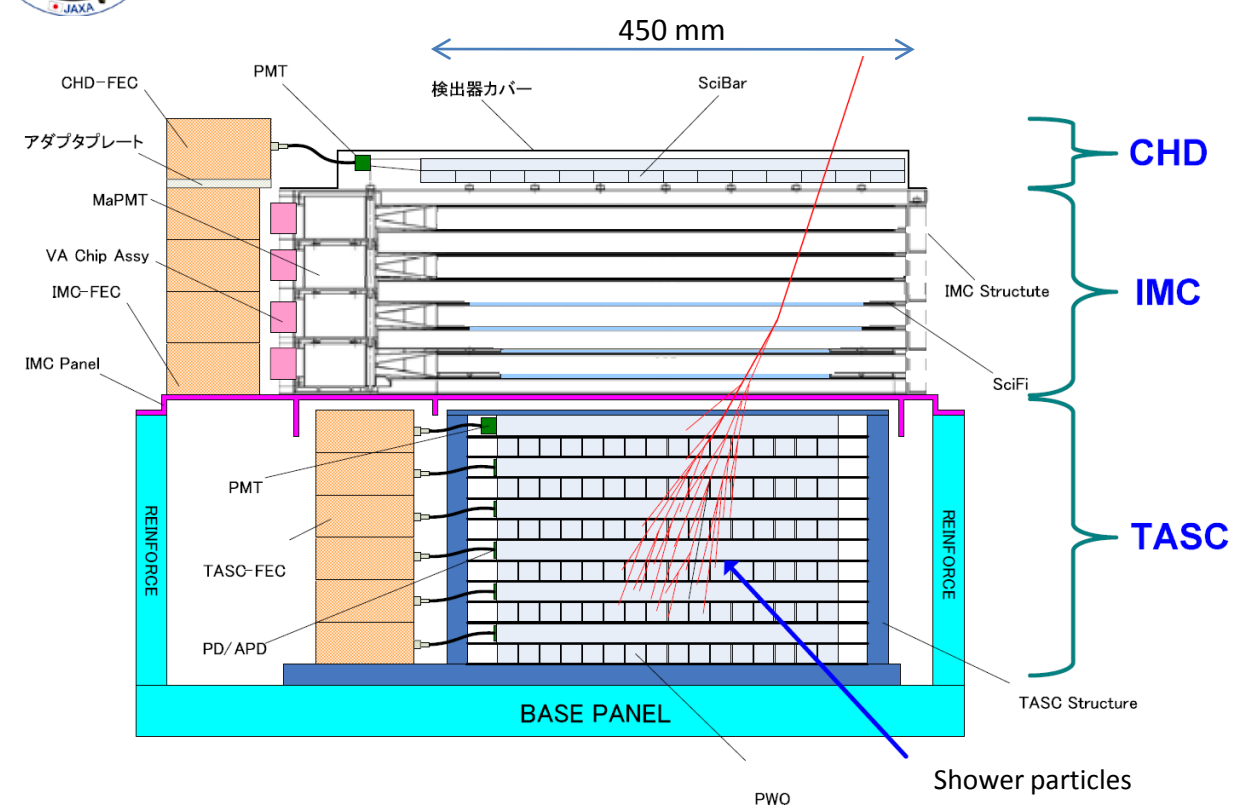




- ➤ Soft Gamma-ray Monitor (SGM)
  - BGO (φ4 inch x 3 inch) + Light guide by OKEN Co Ltd.
  - Hamamatsu 3-inch PMT R6233-20



### カロリメータ概要



Expected Performance (from Simulations and/or Beam Tests)

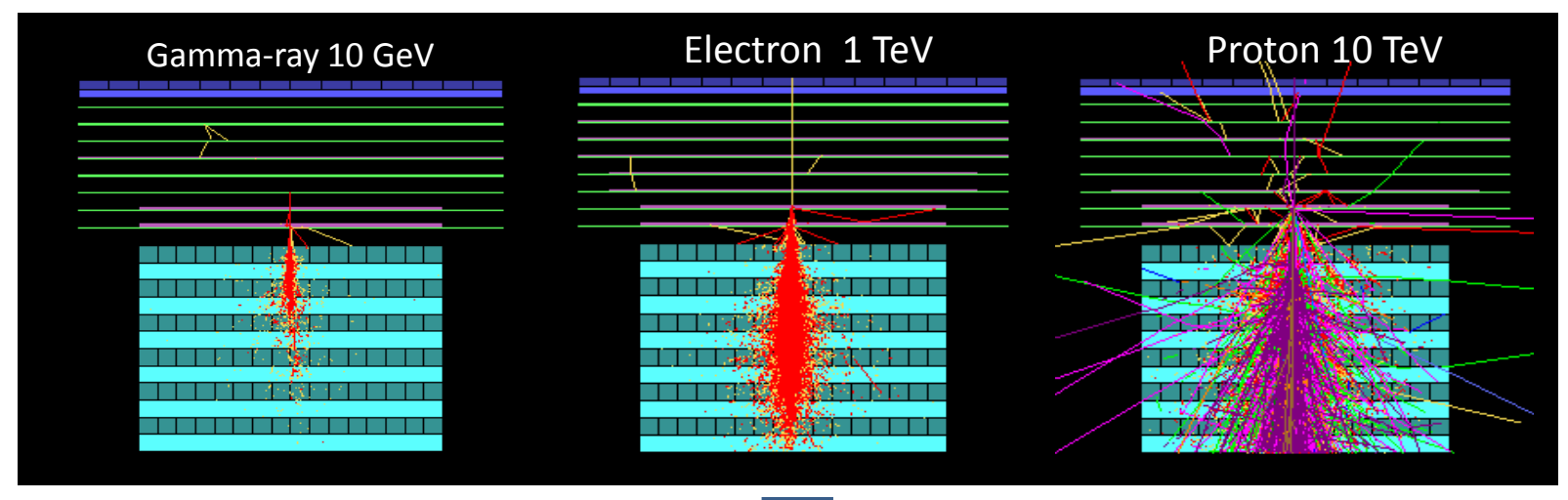
- SΩ: 1200 cm<sup>2</sup>sr for electrons 1000 cm<sup>2</sup>sr for gamma-rays
- ΔE/E:
   a few % (>10 GeV) for e,γ's
   ~30 % for protons
- e/p separation: 10<sup>-5</sup>
- Charge resolution: 0.15-0.3 e
- Angular resolution :

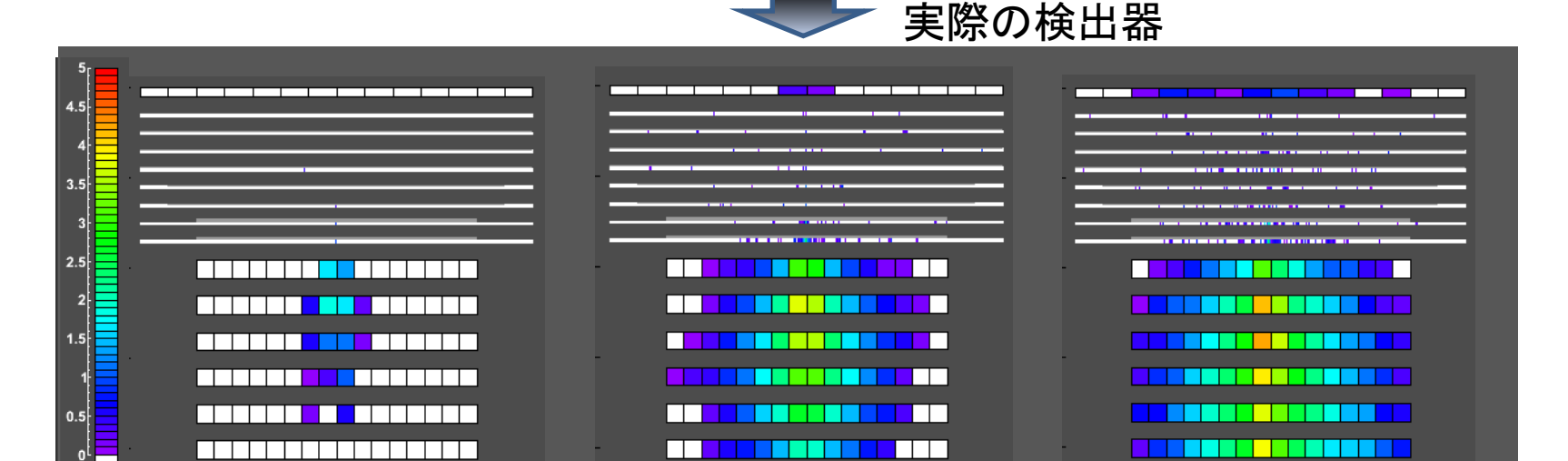
   0.24-0.76 deg. for gamma-rays
   (Preliminary)

	CHD (Charge Detector)	IMC (Imaging Calorimeter)	TASC (Total Absorption Calorimeter)
Function	Charge Measurement (Z=1-40)	Arrival Direction, Particle ID	Energy Measurement, Particle ID
Sensor (+ Absorber)	Plastic Scintillator : 14 × 1 layer (x,y) Unit Size: 32mm x10mmx450mm	SciFi: 448 x 8 layers (x,y) = 7168 Unit size: 1mmsq x 448 mm Total thickness of Tungsten: 3 r.l.	PWO log: 16 x 6 layers (x,y)= 192 Unit size: 19mm x 20mm x 326mm Total Thickness of PWO: 27 r. l.
Readout	PMT+CSA	64 -anode PMT+ ASIC	APD/PD+CSA PMT+CSA ( for Trigger)



#### CALET における宇宙線シャワーの観測例 (シミュレーション)





- **\* IMCとTASC**のシャワー可視化技術により、電子イベントに対して10<sup>5</sup> の陽子イベント除去性能が達成可能である
- CHDにより入射粒子に対して△Z=0.15-0.3 の電荷分解能が実現できる

## トリガーシステム

#### シャワートリガー

- エネルギー閾値: 観測対象のエネルギー領域のイベントを効率的に選別
- 高エネルギーガンマ線: トリガーにおける後方散乱粒子の影響を除去

#### トリガー用シグナル

- CHD: 1層14枚の和

- IMC: SciFiベルト2層ずつの和

- TASC: TASC最上層の和

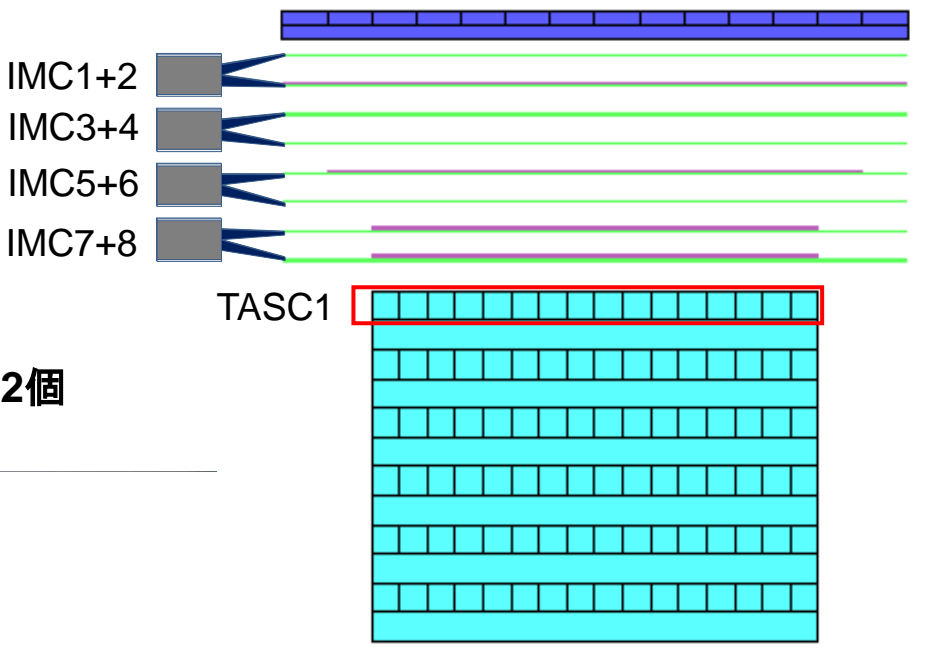
トリガーは、これらの組み合わせで生成

#### トリガーモード

- 高エネルギーシャワートリガー 10GeV以上のシャワー粒子
- 低エネルギーシャワートリガー 1GeV以上のシャワー粒子(電子のみ)
- シングルトリガー 最小電離粒子を含む全粒子

64chMA-PMT: 14 x 4層 x 2(X,Y)、全112個 SciFi:32本 x 2層のシグナル和



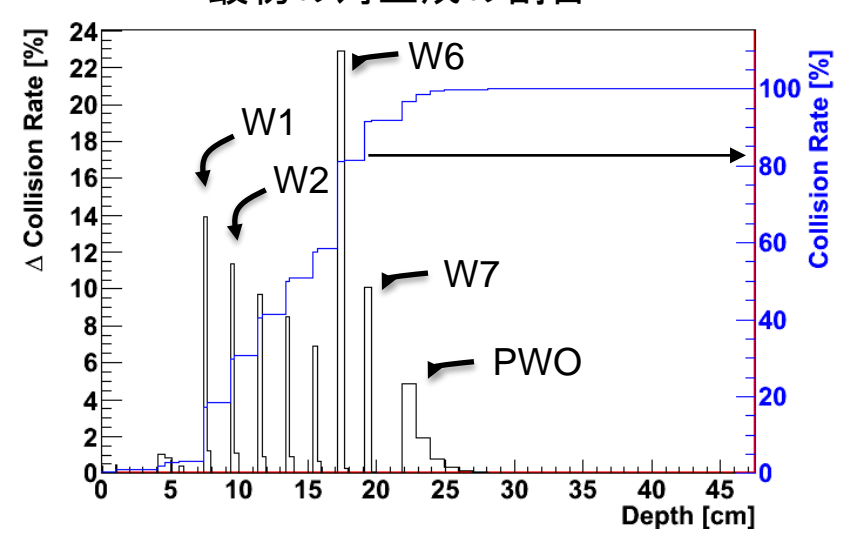


## IMCにおけるガンマ線トリガー

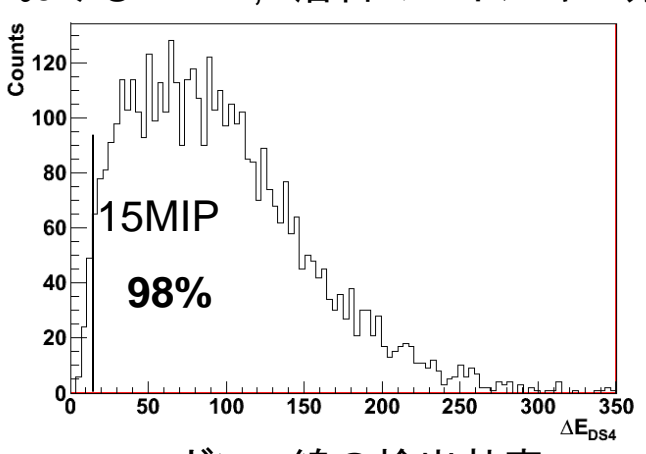
#### ガンマ線の検出効率を考慮

- ① TASC最上層の閾値 電子(>10GeV)と同じ
- ② IMC7,8層目の和のみ利用 IMCの上部6層内で最初の 対生成を起こす確率が8割

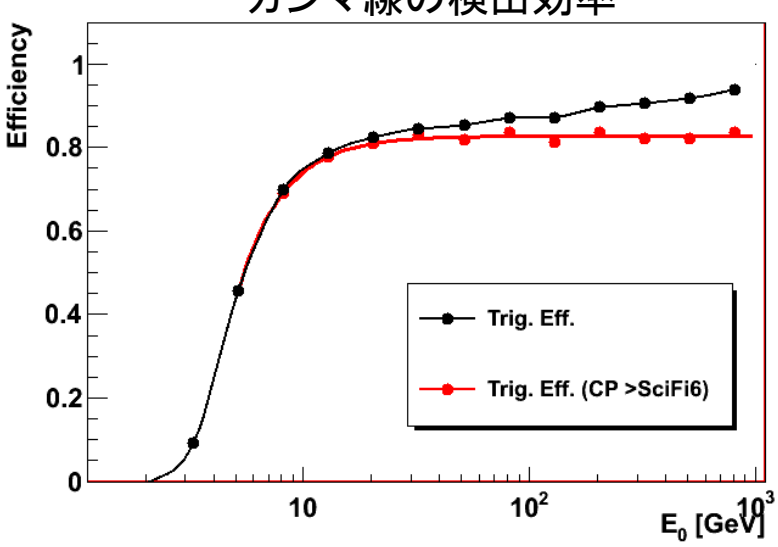
最初の対生成の割合



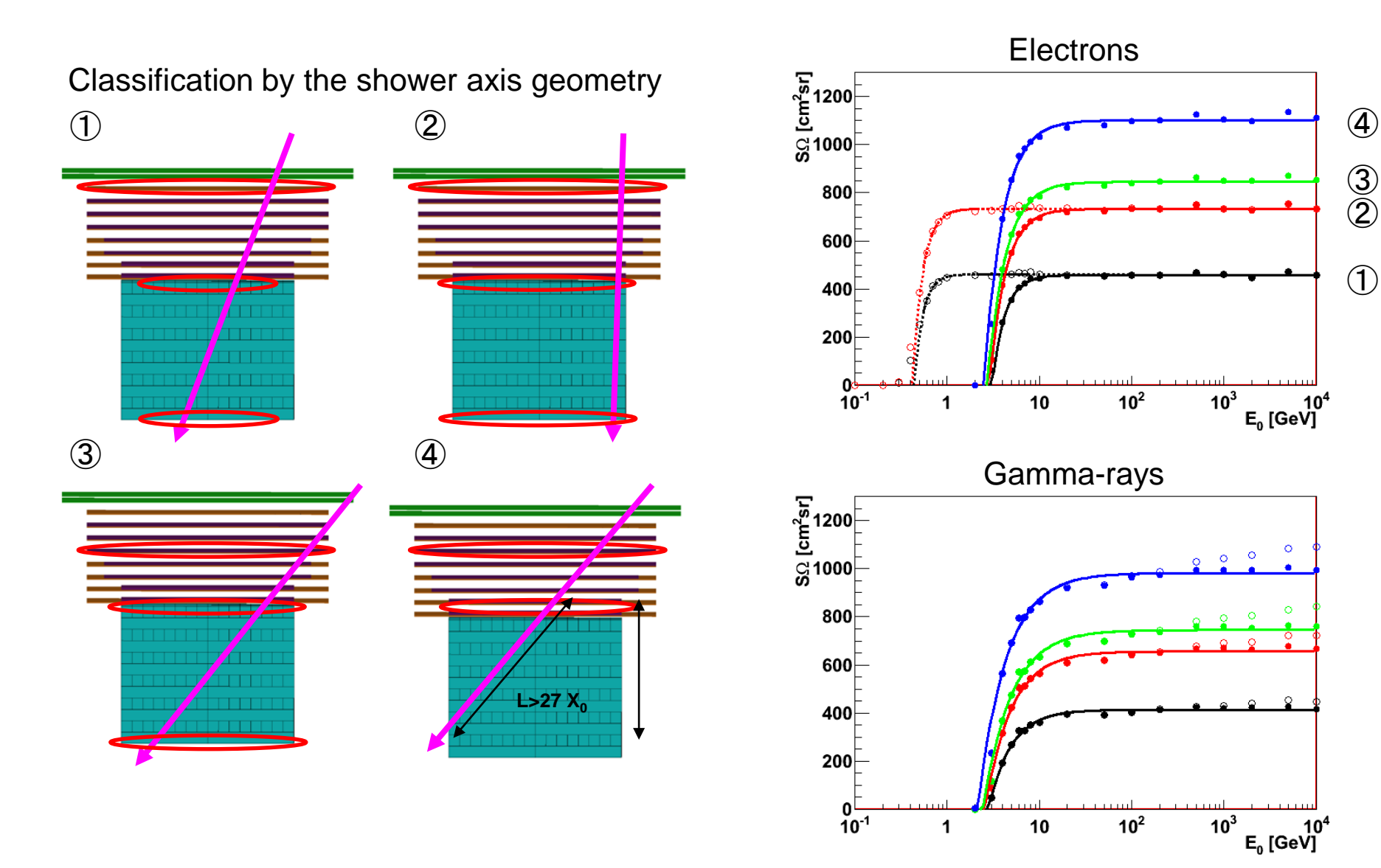
上6層以内で対生成した10GeVγ線に おけるSciFi7,8層目のエネルギー分布



ガンマ線の検出効率



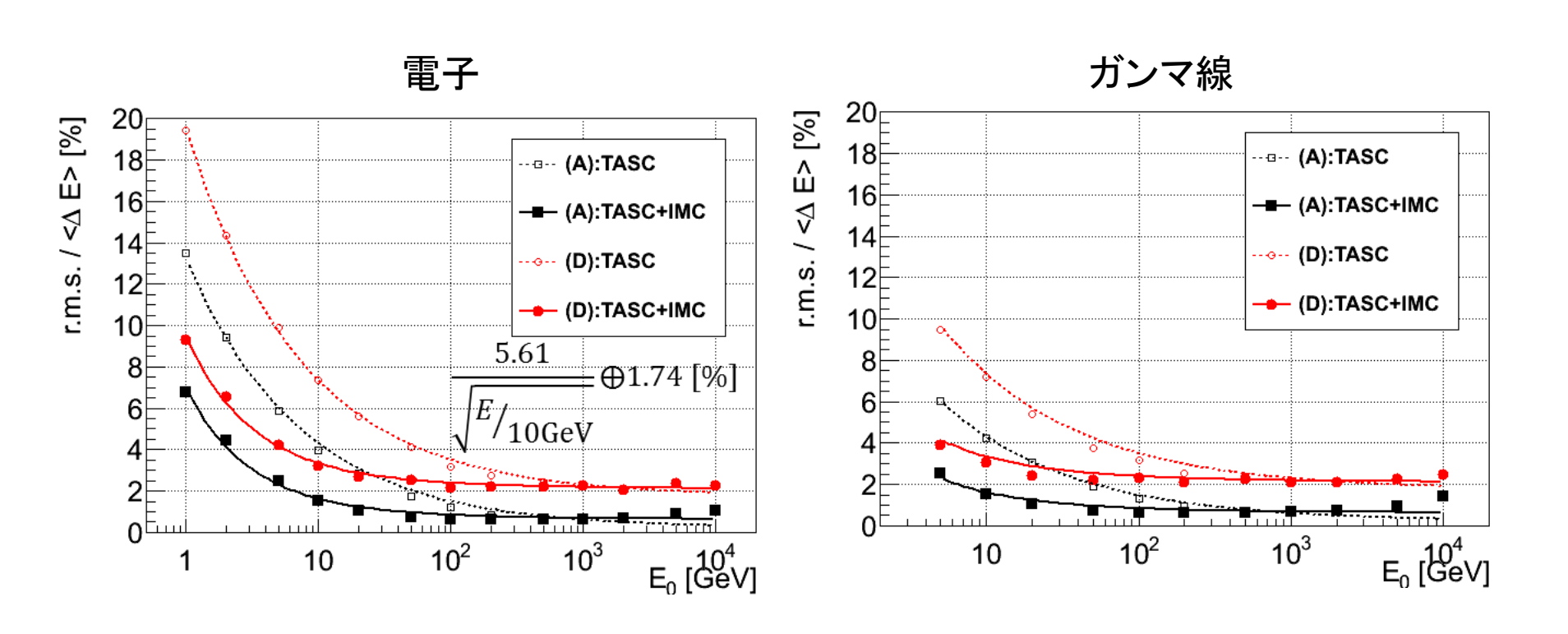
## 電子・ガンマ線の幾何学的因子のエネルギー依存性



## エネルギー分解能

A: full-contained events

D : partially contained events





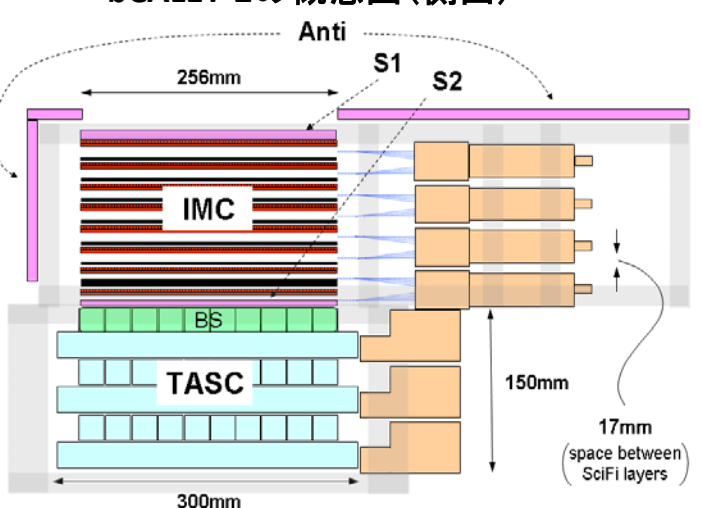
## CALET プロトタイプ性能試験(気球観測、加速器)

#### CALET プロトタイプ検出器: bCALET-2(1/4 スケール) による気球実験 (2009)

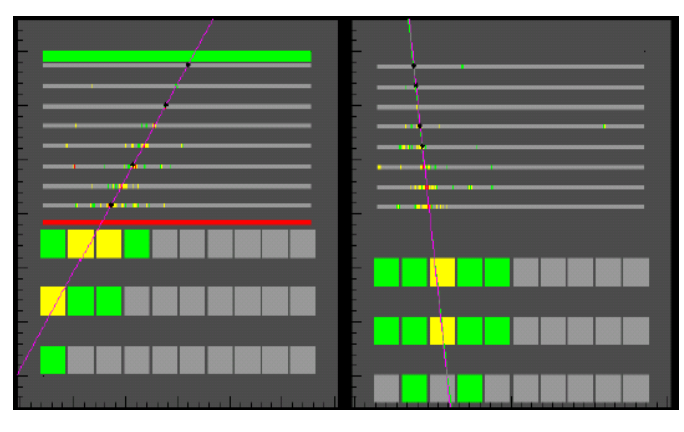
気球搭載装置:bCALET2



bCALET-2の概念図(側面)

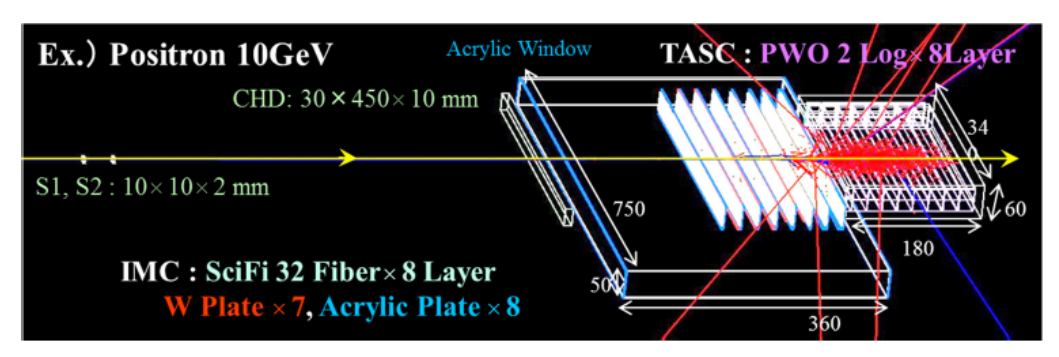


電子候補イベントの観測例

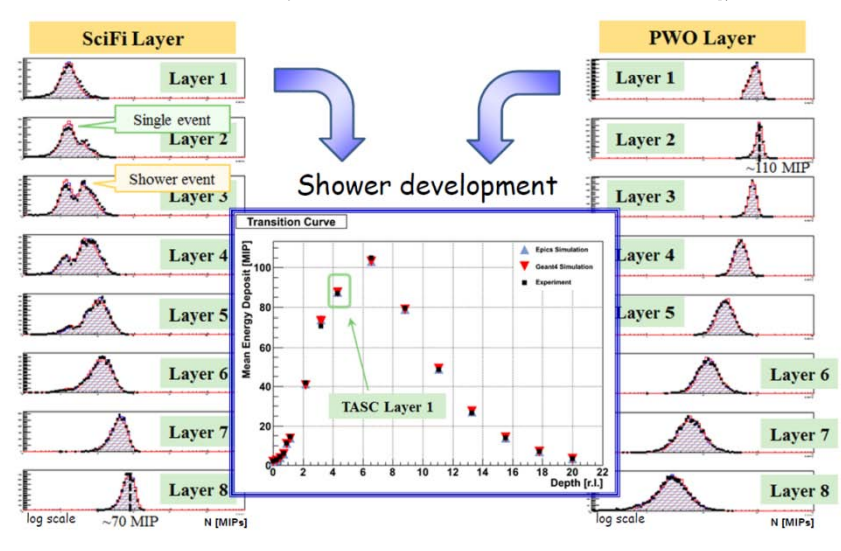


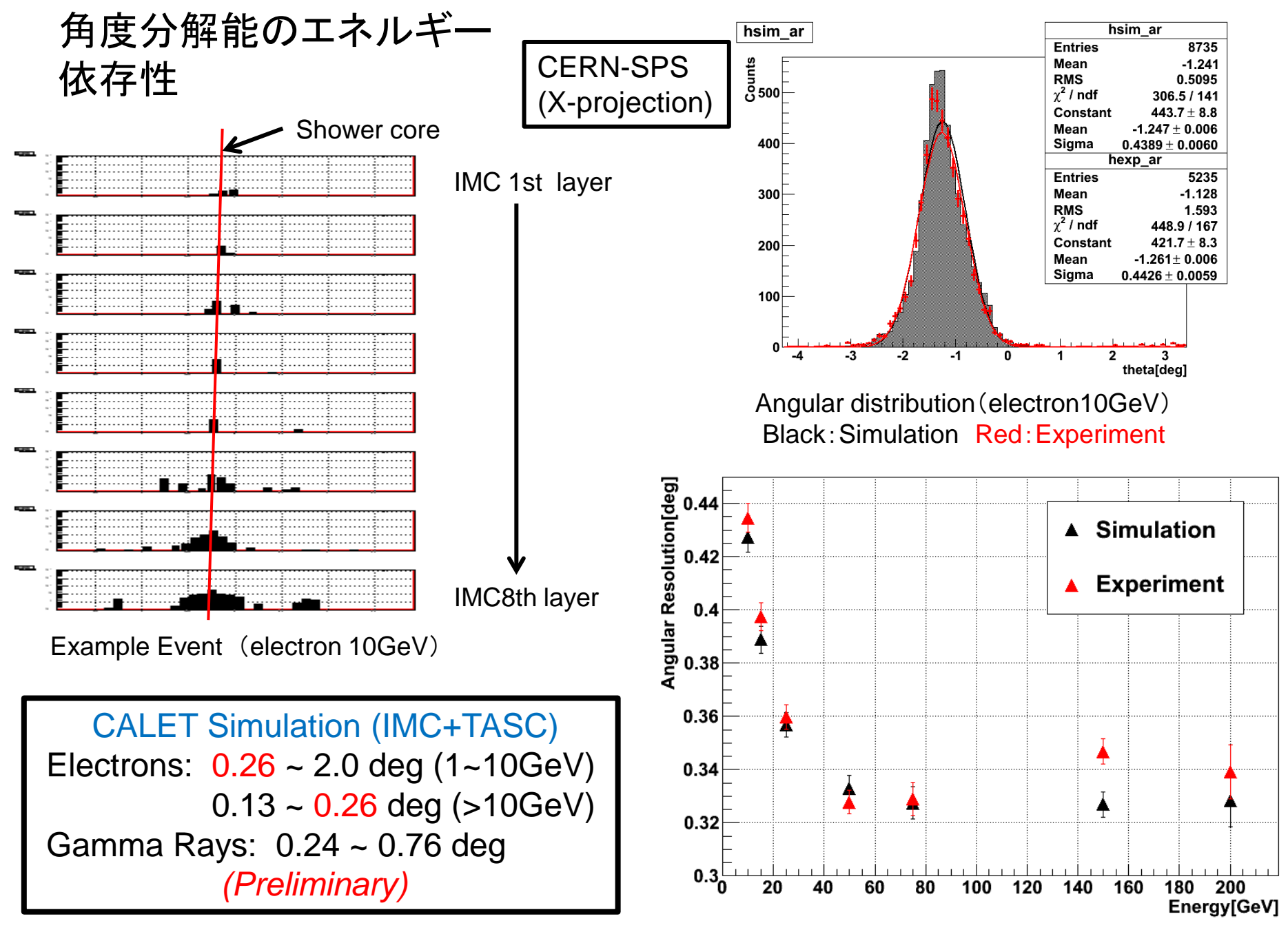
CERN-SPSにおけるビーム実験(2009,2010,2011)

装置概念図と10GeV電子のシミュレーション例 (2010)



10GeVの電子における検出器内での シャワー発達とシミュレーションの比較





Energy dependency of angular resolution

#### bCALET-2における電子・ガンマ線フラックスの観測結果

粒子識別で選別された電子・ガンマ線候補 イベントを用いて、右式からフラックスを計算

$$Flux \left[ \mathbf{m}^{\Box 2} \mathbf{s} \mathbf{r}^{\Box 1} \mathbf{s}^{\Box 1} \mathbf{GeV}^{\Box 1} \right] = \frac{N}{\Delta E \cdot t \cdot SQ} \cdot \frac{1}{\varepsilon} \cdot \delta$$



- □ シミュレーションと統計誤差の範囲で一致
- □ 過去の実験結果(BETS、bCALET-1)とも矛盾のない結果
- 10GeV付近のRigidity Cutの影響を観測
- □ 10GeV以下の二次電子、大気γ線の観測にも成功

※ N : イベント数

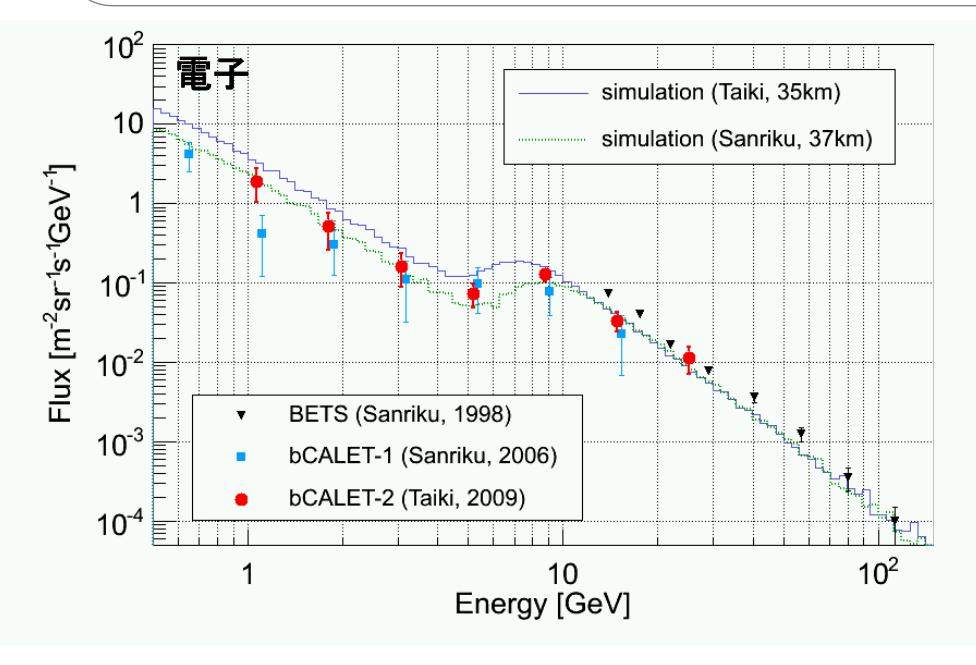
 $\Delta E$ :エネルギー幅

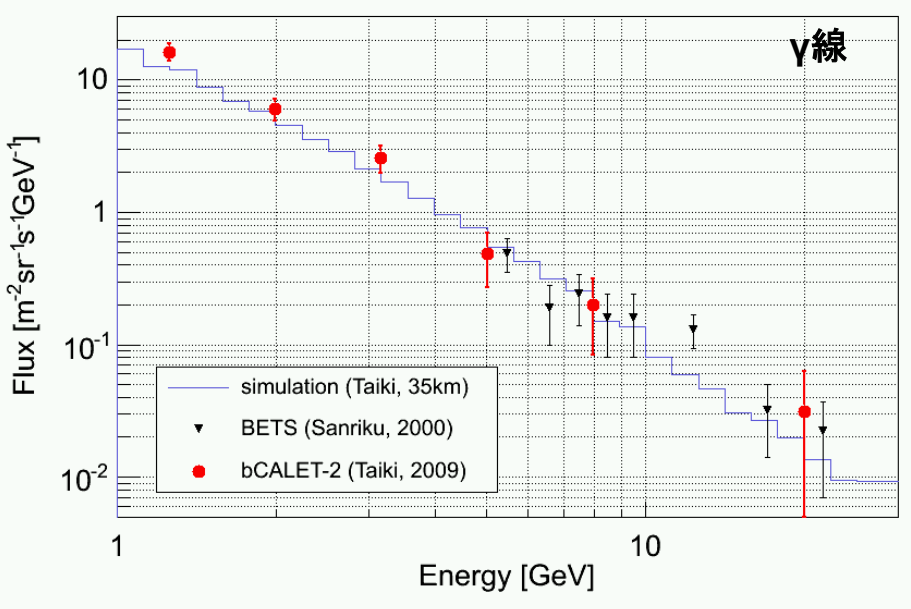
t: 観測時間

 $S\Omega$ :幾何学的因子

*ε* : 残存率

 $\delta$  :混入率





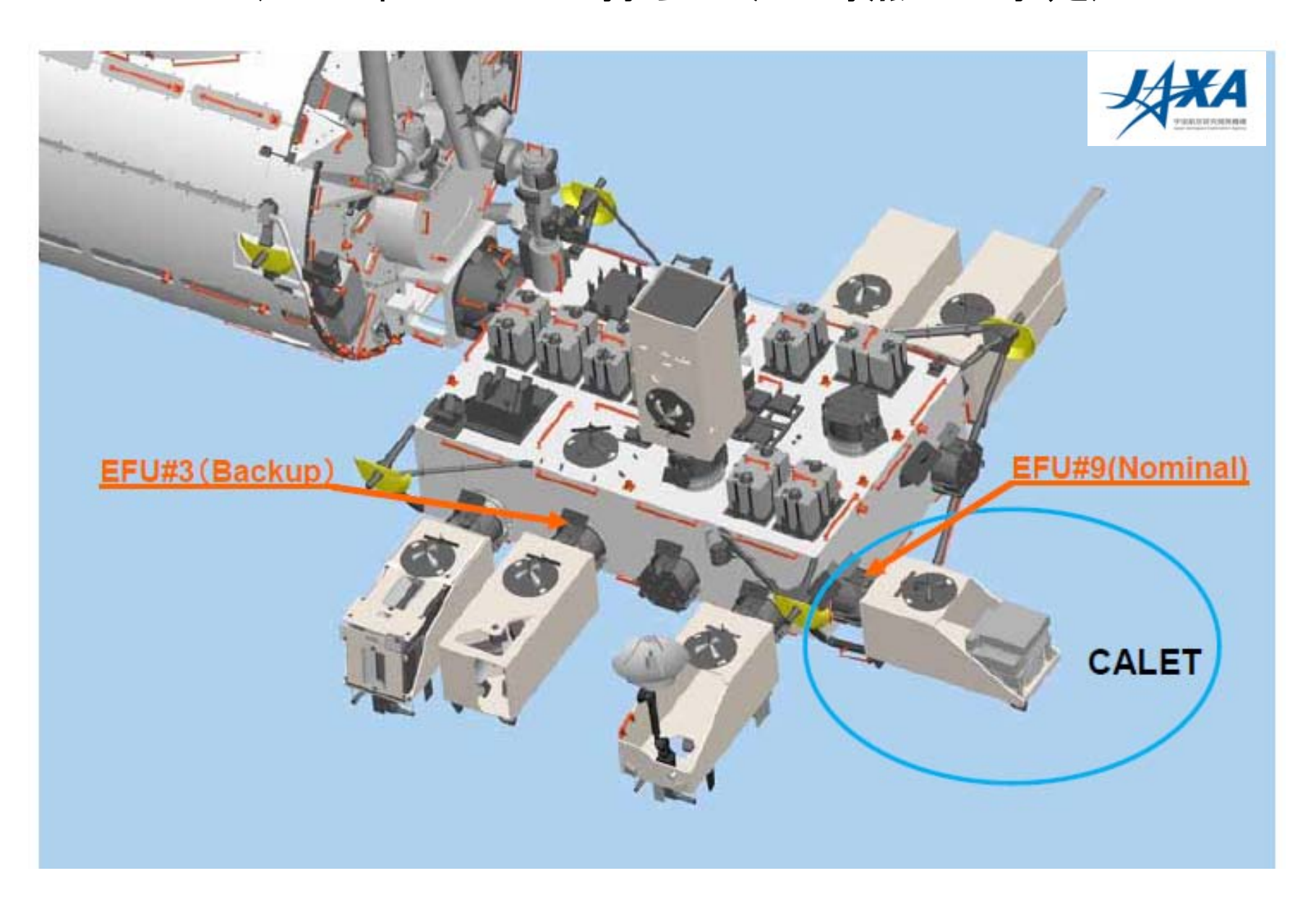
#### Fermi/LATとCALETのガンマ線観測性能比較

	Fermi/LAT	CALET	
エネルギー領域	20 MeV-300 GeV	4 GeV - 10 TeV	
有効面積	7600 cm <sup>2</sup> @10GeV	~1000 cm <sup>2</sup> @10GeV	
視野	2.5 sr	~ 1.8 sr (max)	
Acceptance	2.0 m <sup>2</sup> sr (>10 GeV)	~1000 cm <sup>2</sup> sr (>10GeV)*	
角度分解能(68%)	0.25° @10 GeV	0.24° - 0.76° (>10GeV)	
エネルギー分解能	8 % @10GeV	2 - 3 % (> 10 GeV)	
イベント毎の死時間	26.5 μs	1 ms (TBD)	
点源の感度(1年間)	$6 \times 10^{-10} / \text{ cm}^2 \text{s}$	$4 \times 10^{-9} / \text{cm}^2 \text{s}$	

<sup>\*)</sup> 装置構造による制限を含む



# JEM船外実験プラットフォームにおけるCALETの設置概念図 (2014年にHTV5で打ち上げた時点での予定)

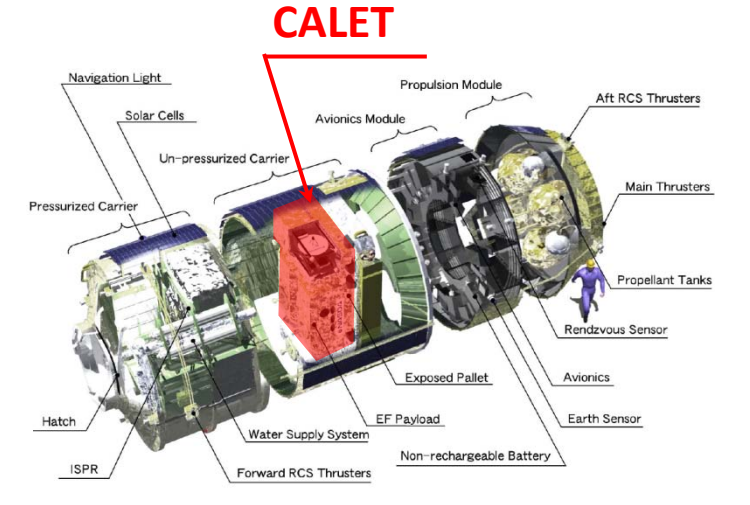




## CALETのHTVによる打ち上げ



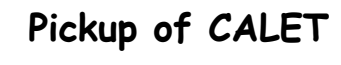
Launching by H2B Rocket



H2B Transfer Vehicle(HTV)



Separation from H2B

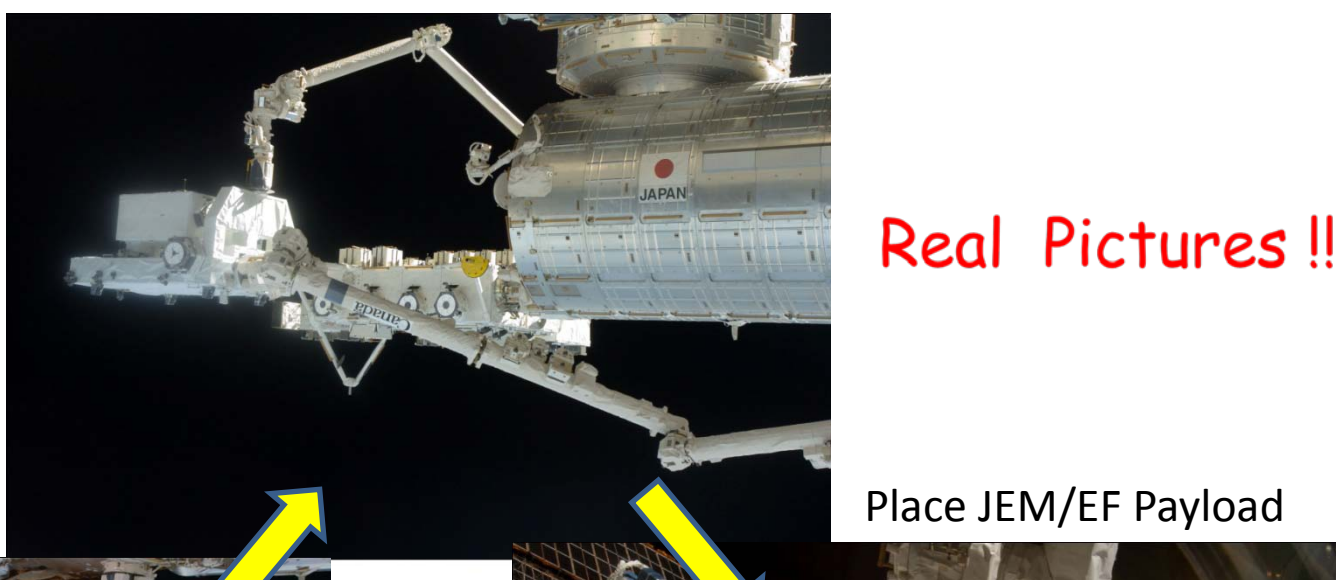


**CALET** 



#### HTVからJEM曝露部への装置設置のプロセス

#### Hand-off of HTV Palette



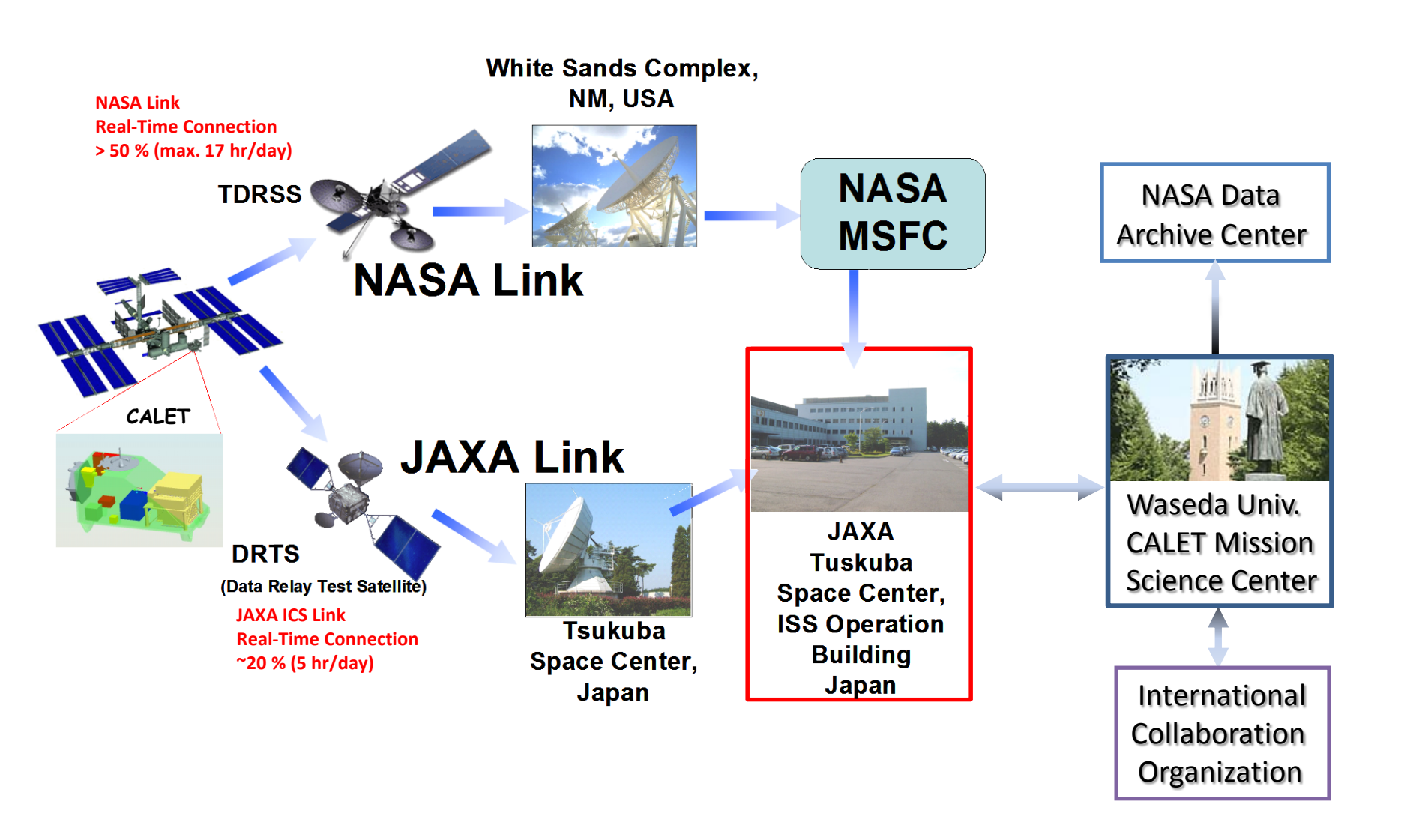
Place JEM/EF Payload



Pick up HTV Palette



## データダウンリンクとCALETデータ解析





## まとめと予定

- CALETはTeV領域の電子・ガンマ線観測により近傍加速源と暗黒物質の探索を行う ほか、陽子・原子核の観測を1000TeV領域まで実施して宇宙線の加速・伝播機構の 解明を行う。さらに、太陽変動やガンマ線バーストのモニター観測を実施する。
- CALETは日本で初めての宇宙空間における本格的宇宙線観測プロジェクトであり、 2014年の打ち上げ後5年間の観測により、これまで実現できなかった高精度、高統計 な宇宙線観測を目指している。
- CALETは、JAXA有人宇宙環境利用ミッション本部宇宙環境利用センターと早稲田大学の共同研究によるJAXAプロジェクトであり、宇宙科学研究所の支援を受けている。
- 米国NASAからISSにおける協力としてCALETミッション支援の予算(APRA)が承認されており、イタリアASIとも高圧電源の供給を含む共同研究の枠組みが構築されている。
- CALETは、現在詳細設計フェーズにあり、2012年度にはCDRを経て搭載装置の製作を開始する予定である。

# BACKUP -Gamma-ray Burst-

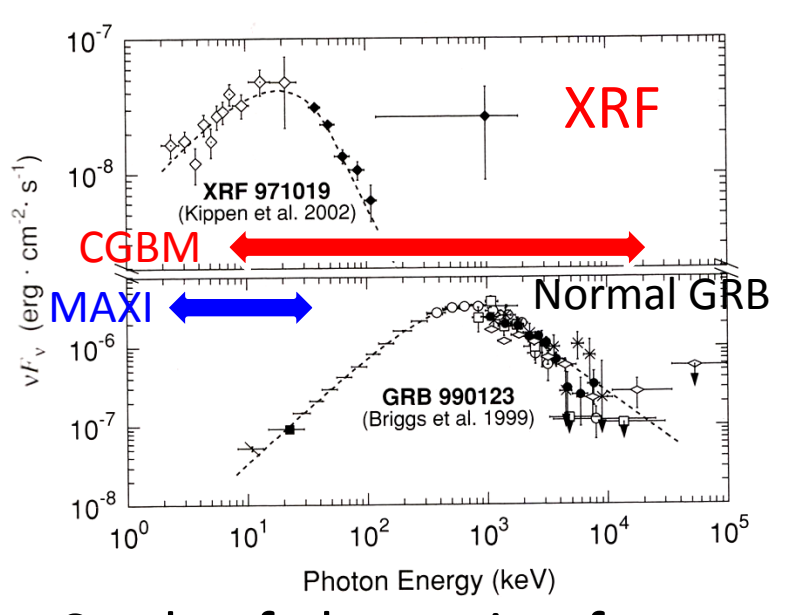
## GRB observations with CALET (I)

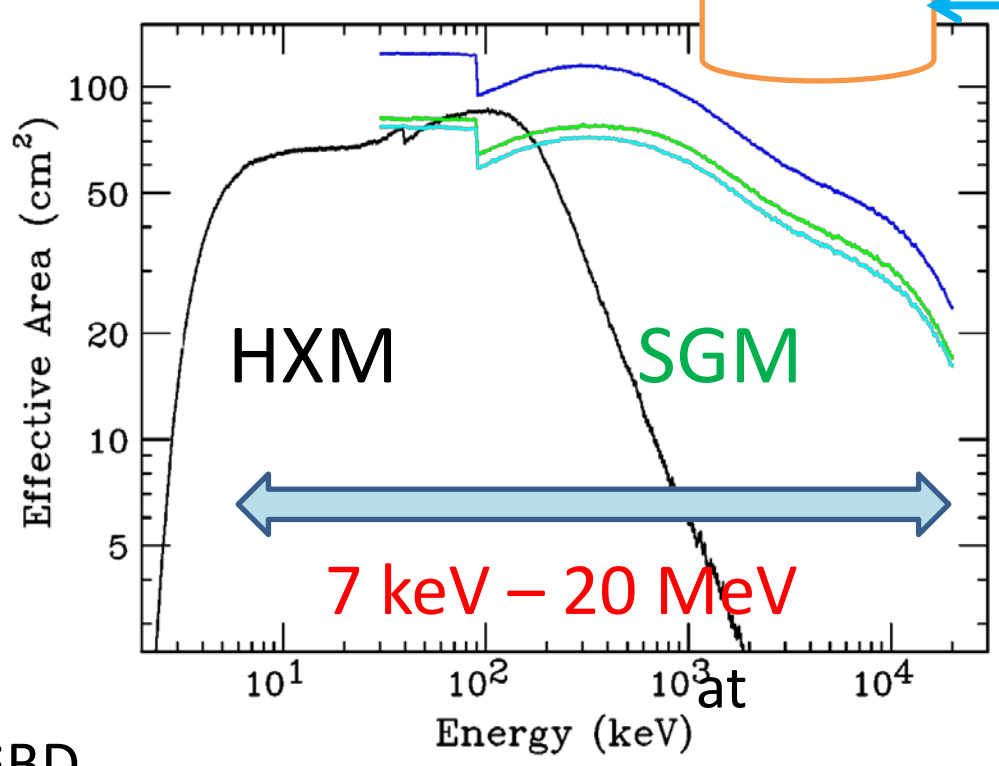
- Simultaneous broadband coverage with CAL(GeV-TeV), CGBM(keV-MeV), and possibly ASC (Advanced Star Camera: optical)
- The CAL would be comparable to the CGRO/EGRET sensitivity.

Parameters	CAL	CGBM
Energy	1 GeV- 10 TeV (GRB trigger)	HXM: 7keV- 1MeV (Goal 3 keV3 MeV) SGM: 100keV- 20MeV (Goal 30keV-30MeV)
	(3112 119931)	,
Effective area	~1000 cm <sup>2</sup>	68 cm <sup>2</sup> (2HXMs), 82 cm <sup>2</sup> (SGM)
Angular resolution	2.5 deg@1 GeV, 0.4 deg@10 GeV	No localization capabilities by CGBM itself, but IPN localization is possible
Field of view	~45 deg.(~2 str.)	~π str. (HXM), ~4π str. (SGM)
Dead time	~1.8 ms	~20 us
Time resolution	1 ms	GRB trigger: 62.5 us (Event-by-event data)
		Normal mode: 1/8 s with 4 channels and 4 s with 256 channels (Histogram data)

GRB observations with CALET (II)

 Study of X-ray flashes (XRFs) and low energy portion of normal GRBs with CGBM and MAXI/GSC (2—30 keV).





- Study of absorption features at 20-30 keV seen by Ginga/GBD.
- The CGBM effective area is comparable to that of Ginga/GBD (~60 cm<sup>2</sup>). We will expect to detect -40 GRBs/year by HXM and -80 GRBs/year by SGM.